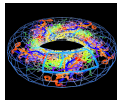


# Влияние нетривиальной топологии на вакуумы решеточных калибровочных теорий и спиновых систем

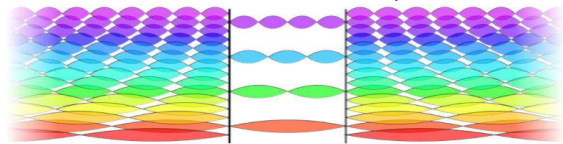
Научный семинар Лаборатории теоретической физики им. Н.Н.  
Боголюбова ОИЯИ

Танашкин Алексей Сергеевич,  
Тихоокеанский квантовый центр ДВФУ, Владивосток

Дубна, 16 ноября 2023 г.



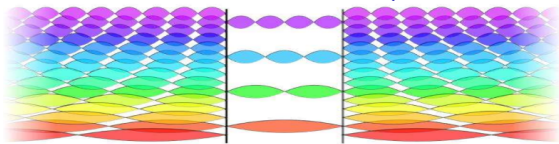
## Ограничение размерности (пластины Казимира)



©Y. Kabashi, S. Kabashi  
J.Nat. Sciences and Math.  
UT 4(7-8), 2019

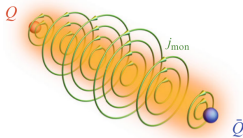
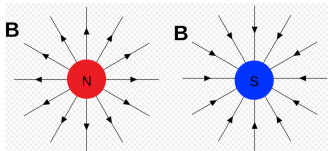
# Индукирование нетривиальной топологии

## Ограничение размерности (пластины Казимира)



©Y. Kabashi, S. Kabashi  
J.Nat. Sciences and Math.  
UT 4(7-8), 2019

## Динамический механизм (абелевы монополи)

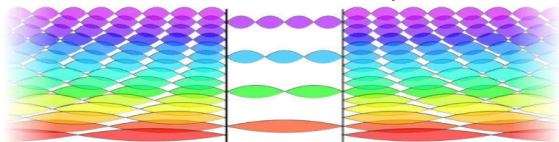


©Wikipedia

©M. Chernodub  
Handbook of  
Nuclear Physics  
Singapore, 2023

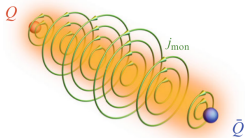
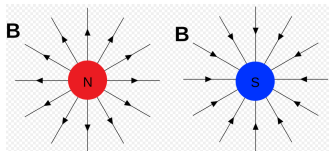
# Индукирование нетривиальной топологии

## Ограничение размерности (пластины Казимира)



©Y. Kabashi, S. Kabashi  
J.Nat. Sciences and Math.  
UT 4(7-8), 2019

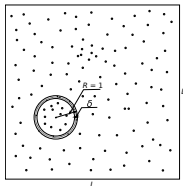
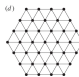
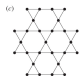
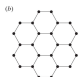
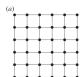
## Динамический механизм (абелевы монополи)



©Wikipedia

©M. Chernodub  
Handbook of  
Nuclear Physics  
Singapore, 2023

## Случайная решетка и нелокальное взаимодействие



$$H = \sum_{i,k \in M} J_{ik} \delta(\sigma_i, \sigma_k), \quad J_{ik} = \begin{cases} J, & R - \frac{\delta}{2} \leq |i - k| \leq R + \frac{\delta}{2} \\ 0, & \text{otherwise,} \end{cases}$$

$$\delta \ll R.$$

## Цель работы

Исследование вакуумных состояний в калибровочных теориях и спиновых системах с нетривиальной топологией

## Задачи работы

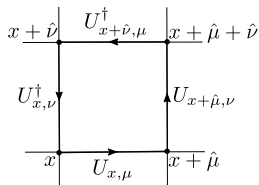
- Исследовать структуру вакуума калибровочной абелевой  $U(1)$  теории при наличии бесконечных двумерных границ;
- Исследовать структуру вакуума калибровочной неабелевой  $SU(3)$  теории при наличии бесконечных двумерных границ;
- Исследовать структуру основных состояний нелокальной спиновой модели Поттса на случайной решетке.

# Граничные условия Казимира на решетке

## Действие

$$S_G = \beta \sum_{x \in \Lambda} \sum_{\mu < \nu} \left( 1 - \frac{1}{N} \text{Re tr } U_{x, \mu \nu} \right), \quad \beta = \frac{2N}{g^2}$$

$$U_{x, \mu \nu} = U_{x, \mu} U_{x + \hat{\mu}, \nu} U_{x + \hat{\nu}, \mu}^\dagger U_{x, \nu}^\dagger$$

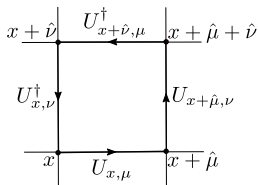


# Граничные условия Казимира на решетке

## Действие

$$S_G = \beta \sum_{x \in \Lambda} \sum_{\mu < \nu} \left(1 - \frac{1}{N} \operatorname{Re} \operatorname{tr} U_{x, \mu \nu}\right), \quad \beta = \frac{2N}{g^2}$$

$$U_{x, \mu \nu} = U_{x, \mu} U_{x + \hat{\mu}, \nu} U_{x + \hat{\nu}, \mu}^\dagger U_{x, \nu}^\dagger$$

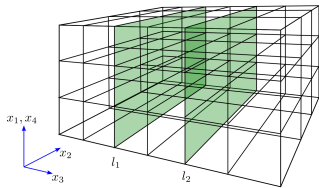


## Граничные условия Казимира

$$E_{\parallel}^{(a)}(x) \Big|_{x \in S} = B_{\perp}^{(a)}(x) \Big|_{x \in S} = 0,$$

$$a = 1, \dots, N_c^2 - 1$$

$$\beta \rightarrow \beta_P = \beta[1 + (\varepsilon - 1)\delta_{P, \nu}]$$

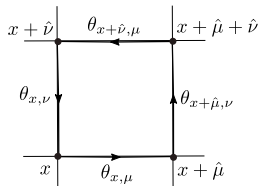


# Монополи в компактной электродинамике на решетке

## Действие компактной КЭД

$$S_{\text{cQED}}[\theta] = \beta \sum_{x \in \Lambda} \sum_{\mu < \nu} (1 - \cos \theta_P)$$

$$\theta_{P_{x,\mu\nu}} = \theta_{x,\mu} + \theta_{x+\hat{\mu},\nu} - \theta_{x+\hat{\nu},\mu} - \theta_{x,\nu}$$

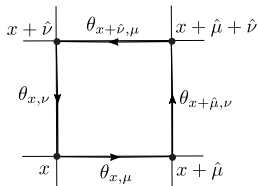


# Монополи в компактной электродинамике на решетке

## Действие компактной КЭД

$$S_{\text{cQED}}[\theta] = \beta \sum_{x \in \Lambda} \sum_{\mu < \nu} (1 - \cos \theta_P)$$

$$\theta_{P_{x,\mu\nu}} = \theta_{x,\mu} + \theta_{x+\hat{\mu},\nu} - \theta_{x+\hat{\nu},\mu} - \theta_{x,\nu}$$

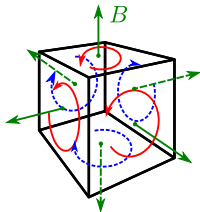


## Монополи

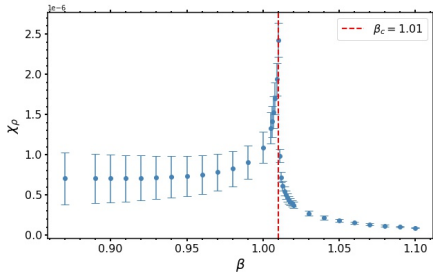
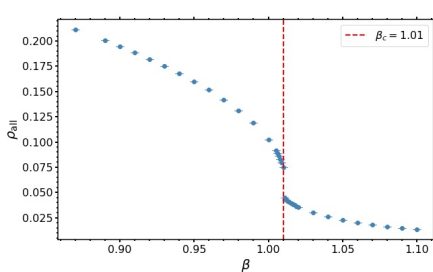
$$\bar{\theta}_P = \theta_P + 2\pi k_P \in [-\pi, \pi), \quad k_P \in \mathbb{Z}$$

$$j_{x,\mu} = \frac{1}{2\pi} \sum_{P \in \partial C_{x,\mu}} (-1)^P \bar{\theta}_P \in \mathbb{Z}$$

$$\rho = \frac{1}{\text{Vol}_4} \sum_{x,\mu} |j_{x,\mu}|$$

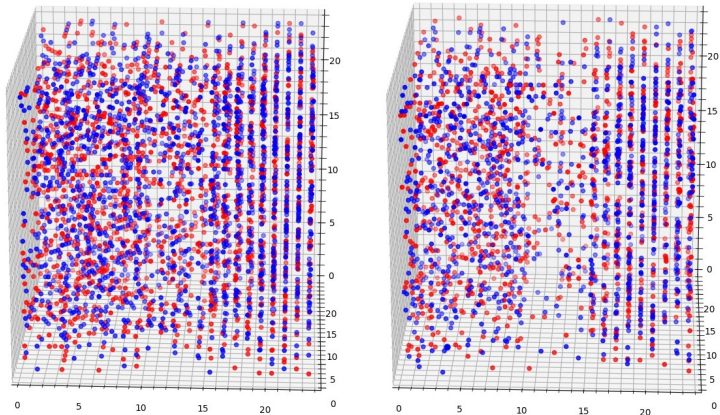


# Фазовый переход при отсутствии пластин Казимира



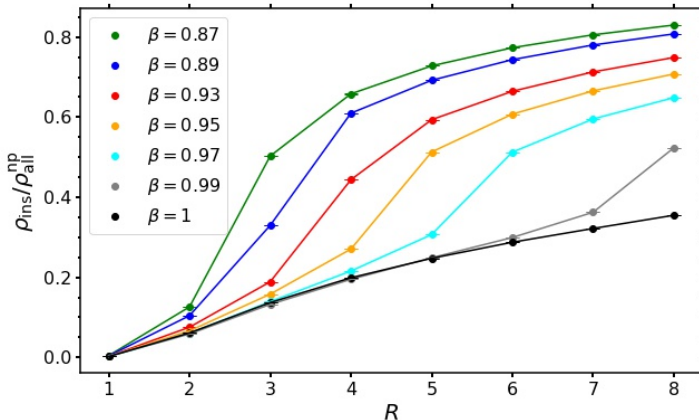
**Вверху:** зависимость монополярной плотности от решеточной константы связи  $\beta$ ; **Внизу:** восприимчивость монополярной плотности. Вертикальная линия соответствует значению  $\beta_c$ , при котором происходит *фазовый переход конфайнмент-деконфайнмент*.

# Монополи при наличии пластин Казимира



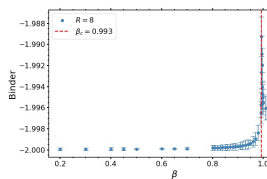
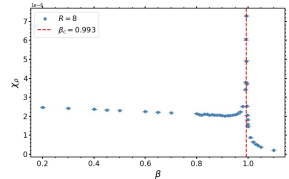
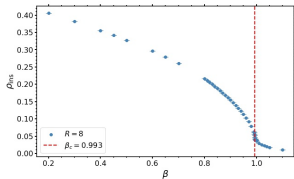
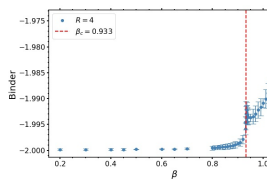
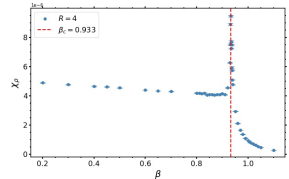
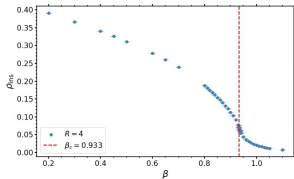
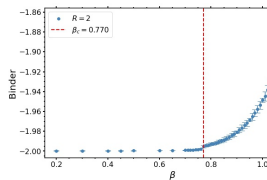
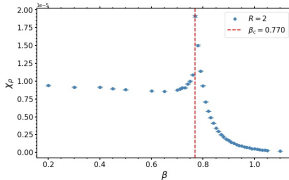
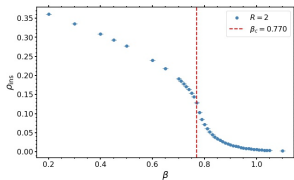
Примеры монопольных конфигураций в фазе конфайнмента (слева,  $\beta = 0.8$ ) и деконфайнмента (справа,  $\beta = 0.9$ ) для пластин на расстоянии  $R = 3$ . Монополи и анти-монополи изображены красными и синими точками, соответственно. Пластины расположены вертикально по центру решетки (не показаны).

# Плотность монополей между пластинами



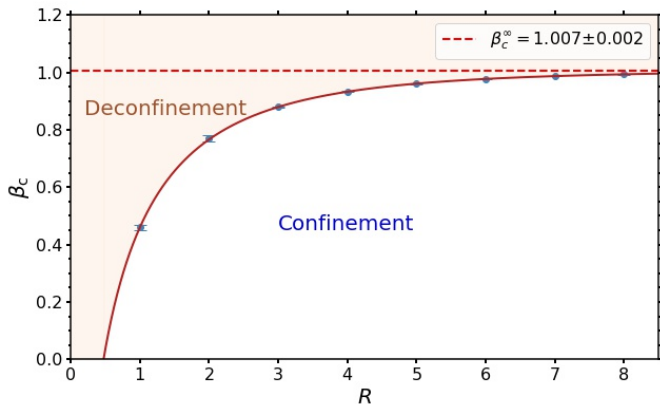
Отношение  $\rho_{\text{ins}} / \rho_{\text{ins}}^{\text{np}}$  монополярной плотности  $\rho_{\text{ins}}$  между пластинами к монополярной плотности в отсутствии пластин,  $\rho_{\text{ins}}^{\text{np}}$  в зависимости от расстояния между пластинами  $R$  для фиксированного набора значений решеточной константы связи  $\beta$ .

# Сдвиг точки фазового перехода



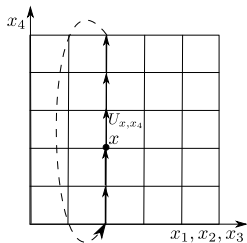
Монопольная плотность (слева), ее восприимчивость (по центру) и кумулянт Биндера (справа) для различных  $R$ .

# Фазовая диаграмма при наличии пластин



Фазовая диаграмма вакуума компактной электродинамики между идеальными металлическими пластинами на расстоянии  $R$ . Подобранная функция имеет вид  $\beta_c^{\text{fit}}(R) = \beta_c^\infty - \alpha \exp[-(R^2/R_0^2)^\nu]$ ,  $\alpha = 3.7(6)$ ,  $R_0 = 0.28(7)$ ,  $\nu = 0.257(16)$ . Предел при  $R \rightarrow \infty$  изображен пунктирной горизонтальной линией.

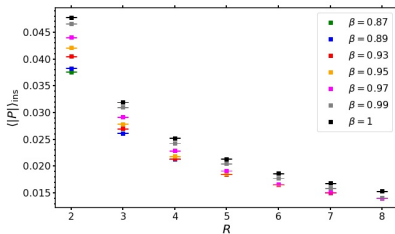
# Петля Полякова как параметр порядка



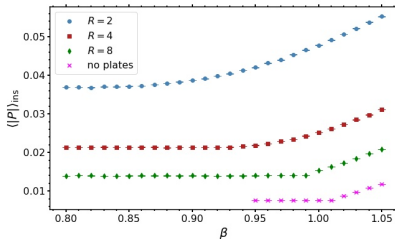
$$P_x = \prod_{x_4=0}^{N_T-1} U_{x,x_4}$$

$$P = \langle P_x \rangle$$

$$|P| = \left| \frac{1}{V_3} \sum_{x \in V_3} P_x \right|$$



Модуль петли Полякова между пластинами для различных  $\beta$



Модуль петли Полякова для различных  $R$

# Энергия Казимира в $SU(3)$ глюодинамике и «глютон»

ТЭИ в пр-ве Минковского

$$T^{\mu\nu} = F^{\mu\alpha} F^{\nu}_{\alpha} - \frac{1}{4} \eta^{\mu\nu} F^{\alpha\beta} F_{\alpha\beta}$$

Плотность энергии

$$\begin{aligned} \mathcal{E} \equiv T^{00} &= \frac{1}{2} (\mathbf{B}^2 + \mathbf{E}^2) \rightarrow \\ T_E^{44} &= \frac{1}{2} (\mathbf{B}_E^2 - \mathbf{E}_E^2). \end{aligned}$$

$\mathcal{E}_{\text{Cas}}$  решетке:

$$\beta L_s \left( \sum_{i=1}^3 \langle \mathcal{P}_{i4} \rangle_s - \sum_{i < j=1}^3 \langle \mathcal{P}_{ij} \rangle_s \right)$$
$$\mathcal{P}_{x,ij} = \frac{1}{3} \text{Re tr } U_{x,ij}$$

# Энергия Казимира в $SU(3)$ глюодинамике и «глютон»

ТЭИ в пр-ве Минковского

$$T^{\mu\nu} = F^{\mu\alpha} F^{\nu}_{\alpha} - \frac{1}{4} \eta^{\mu\nu} F^{\alpha\beta} F_{\alpha\beta}$$

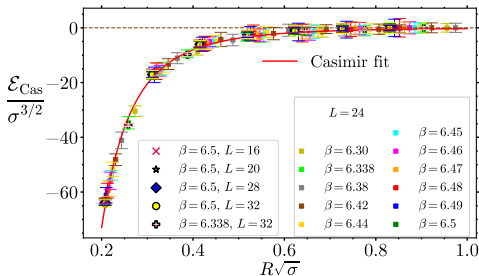
Плотность энергии

$$\mathcal{E} \equiv T^{00} = \frac{1}{2} (\mathbf{B}^2 + \mathbf{E}^2) \rightarrow$$
$$T_E^{44} = \frac{1}{2} (\mathbf{B}_E^2 - \mathbf{E}_E^2).$$

$\mathcal{E}_{\text{Cas}}$  решетке:

$$\beta L_s \left( \sum_{i=1}^3 \langle \mathcal{P}_{i4} \rangle_s - \sum_{i<j=1}^3 \langle \mathcal{P}_{ij} \rangle_s \right)$$

$$\mathcal{P}_{x,ij} = \frac{1}{3} \text{Re tr } U_{x,ij}$$



# Энергия Казимира в $SU(3)$ глюодинамике и «глютон»

ТЭИ в пр-ве Минковского

$$T^{\mu\nu} = F^{\mu\alpha} F^{\nu}_{\alpha} - \frac{1}{4} \eta^{\mu\nu} F^{\alpha\beta} F_{\alpha\beta}$$

Плотность энергии

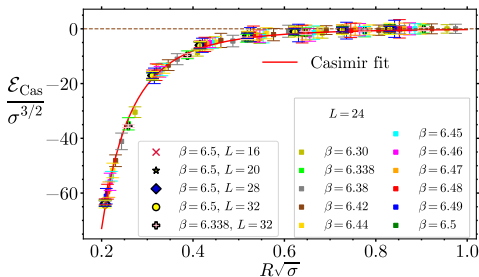
$$\mathcal{E} \equiv T^{00} = \frac{1}{2} (\mathbf{B}^2 + \mathbf{E}^2) \rightarrow$$

$$T_E^{44} = \frac{1}{2} (\mathbf{B}_E^2 - \mathbf{E}_E^2).$$

$\mathcal{E}_{\text{Cas}}$  решетке:

$$\beta L_s \left( \sum_{i=1}^3 \langle \mathcal{P}_{i4} \rangle_s - \sum_{i<j=1}^3 \langle \mathcal{P}_{ij} \rangle_s \right)$$

$$\mathcal{P}_{x,ij} = \frac{1}{3} \text{Re tr } U_{x,ij}$$



$$\mathcal{E}_{\text{Cas}} = -C_0 \frac{2(N_c^2 - 1) m_{\text{gt}}^2}{8\pi^2 R} \sum_{n=1}^{\infty} \frac{K_2(2n m_{\text{gt}} R)}{n^2}$$

# Энергия Казимира в $SU(3)$ глюодинамике и «глютон»

ТЭИ в пр-ве Минковского

$$T^{\mu\nu} = F^{\mu\alpha} F^{\nu}_{\alpha} - \frac{1}{4} \eta^{\mu\nu} F^{\alpha\beta} F_{\alpha\beta}$$

Плотность энергии

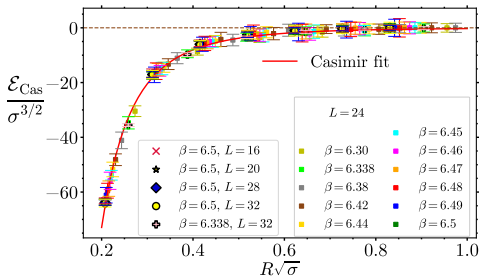
$$\mathcal{E} \equiv T^{00} = \frac{1}{2} (\mathbf{B}^2 + \mathbf{E}^2) \rightarrow$$

$$T^4_4 = \frac{1}{2} (\mathbf{B}_E^2 - \mathbf{E}_E^2).$$

$\mathcal{E}_{\text{Cas}}$  решетке:

$$\beta L_s \left( \sum_{i=1}^3 \langle \mathcal{P}_{i4} \rangle_s - \sum_{i<j=1}^3 \langle \mathcal{P}_{ij} \rangle_s \right)$$

$$\mathcal{P}_{x,ij} = \frac{1}{3} \text{Re tr } U_{x,ij}$$



$$m_{\text{gt}} = 1.0(1)\sqrt{\sigma} = 0.49(5) \text{ GeV}$$

$$M_{0++} = 3.41(2)\sqrt{\sigma} = 1.65(3) \text{ GeV}$$

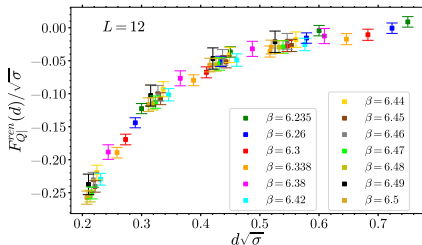
$$\mathcal{E}_{\text{Cas}} = -C_0 \frac{2(N_c^2 - 1)m_{\text{gt}}^2}{8\pi^2 R} \sum_{n=1}^{\infty} \frac{K_2(2nm_{\text{gt}}R)}{n^2}$$

# «Кваркитон» – граничное состояние кварка и пластины

$F_{Q|}(d)$  – свободная энергия  
тяжелого кварка

$$P_{\mathbf{x}} = \text{tr} \left( \prod_{x_4=0}^{L_t-1} U_{\mathbf{x},x_4} \right)$$

$$\langle P_{\mathbf{x}} \rangle_{|}(d) = \exp\{-L_T F_{Q|}(d)\}$$



# «Кваркитон» – граничное состояние кварка и пластины

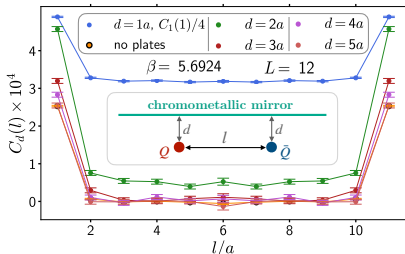
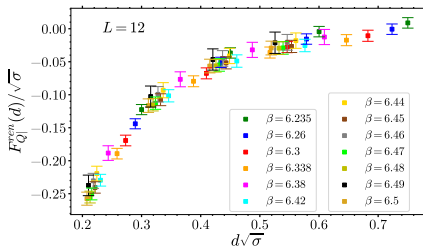
$F_{Q|}(d)$  – свободная энергия  
тяжелого кварка

$$P_x = \text{tr} \left( \prod_{x_4=0}^{L_t-1} U_{x,x_4} \right)$$

$$\langle P_x \rangle | (d) = \exp\{-L_T F_{Q|}(d)\}$$

Коррелятор пары  
кварк-антикварк

$$C_d(l) = \langle P(x) P^*(x+l) \rangle_d$$



# «Кваркитон» – граничное состояние кварка и пластины

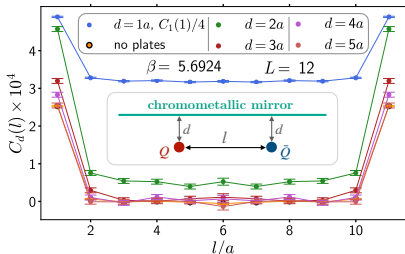
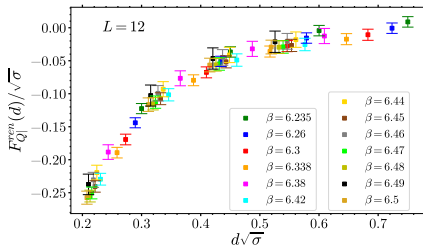
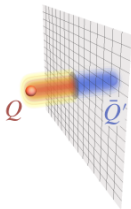
$F_{Q|}(d)$  – свободная энергия  
тяжелого кварка

$$P_x = \text{tr} \left( \prod_{x_4=0}^{L_t-1} U_{x,x_4} \right)$$

$$\langle P_x \rangle_l(d) = \exp\{-L_T F_{Q|}(d)\}$$

Коррелятор пары  
кварк-антикварк

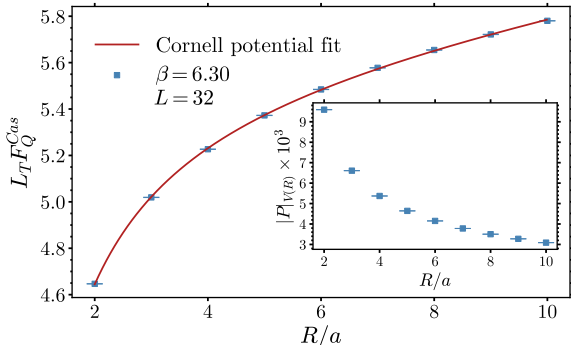
$$C_d(l) = \langle P(x)P^*(x+l) \rangle_d$$



# Признаки деконфайнмента между пластинами

$$L_T F_Q^{\text{Cas}}(R) = -\ln |P|_{V(R)} \equiv -\ln \left\langle \left| \sum_{x \in V(R)} P_x \right| \right\rangle$$

$V(R)$  – объем между пластинами



Средняя свободная энергия тяжелого кварка между пластинами на решетке  $32^4$

$$L_T F_Q^{\text{Cas}}(R/a) = -\frac{c_1}{R/a} + c_2 \frac{R}{a} + c_0$$

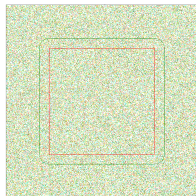
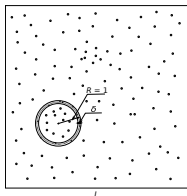
# Нелокальная модель Поттса на случайной решетке

## Определение модели

$$H = \sum_{i,k \in M} J_{ik} \delta(\sigma_i, \sigma_k),$$

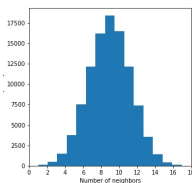
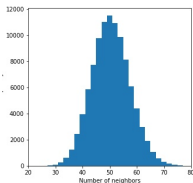
$$J_{ik} = \begin{cases} J, & R - \frac{\delta}{2} \leq |i - k| \leq R + \frac{\delta}{2} \\ 0, & \text{otherwise,} \end{cases}$$

$$\delta \ll R.$$

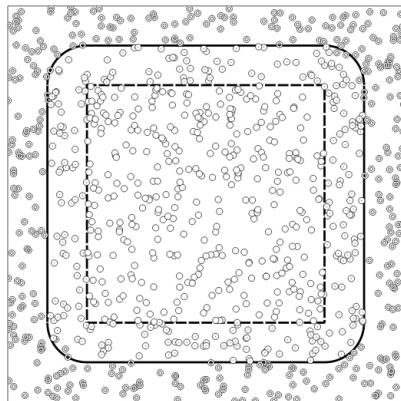
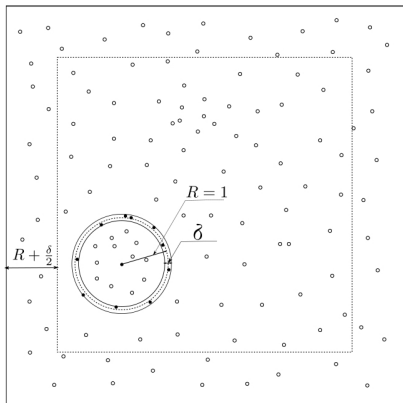


## Среднее число соседей

$$\langle n \rangle = 2\pi R \delta \frac{N}{L^2}$$



$L = 20, q = 4, N = 159155, \delta = 0.02$ . **слева**: распределение числа соседей,  $\langle n \rangle = 50$ ; **справа**: распределение числа соседей наименее представленного цвета



**Слева:** Схематическое изображение модели и фиксированных граничных условий. За пределами области, отмеченной пунктирным квадратом, цвета частиц зафиксированны; **Справа:** Схематическое изображение энергетических зон. Все частицы обладают одинаковыми свойствами, но изображены по-разному в зависимости от принадлежности к соответствующей зоне.

## Постановка задачи

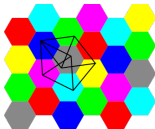
В какое минимальное число цветов  $q$  можно раскрасить пространство  $R^d$ , чтобы никакие две точки на единичном расстоянии не были окрашены в один цвет?

## Точные решения и оценки

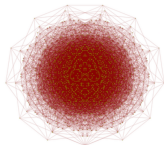
- $R^1$ :  $q = 2$
- $R^2$ :  $5 \leq q \leq 7$
- $R^3$ :  $6 \leq q \leq 15$



$R^1$

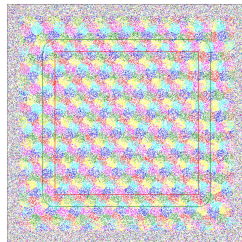
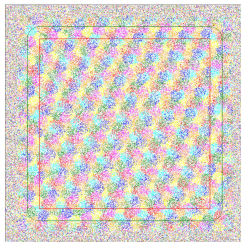
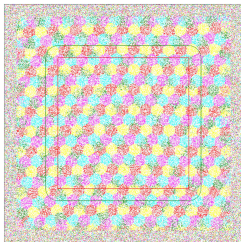
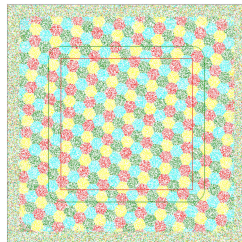
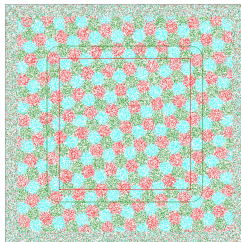
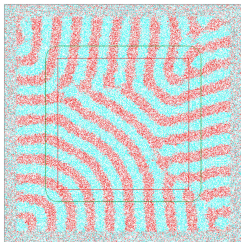


$R^2$ : веретено Мозера и 7-цвет. гекс. раскраска [wikipedia.org](http://wikipedia.org)



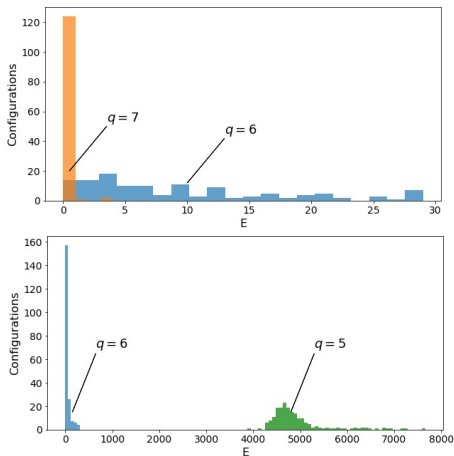
$R^2$ : Граф единичных расстояний,  $q = 5$   
[arXiv:1804.02385](https://arxiv.org/abs/1804.02385)

# Примеры конфигураций основных состояний



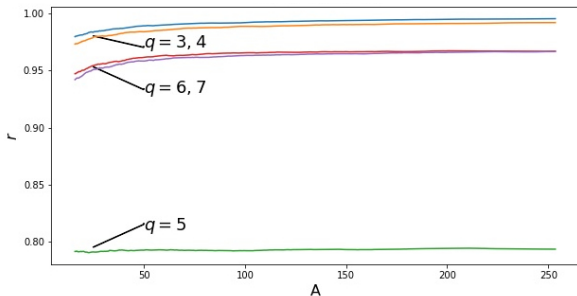
Верхний ряд:  $q = 2,3,4$ ; нижний ряд:  $q = 5,6,7$

# Сравнение распределений энергий основных состояний



Вверху:  $q = 6$  и  $q = 7$ ; внизу:  $q = 5$  и  $q = 6$ . На основе 200 конфигураций для каждого цвета.

# Нарушение цветовой симметрии



Зависимость отношения  $r$  числа частиц наименее представленного цвета к общему числу частиц от площади области  $A$  для разных  $q$

Существование нетривиальной топологии теории приводит к существенной динамической модификации ее основного состояния:

- **компактная электродинамика** [10.1103/PhysRevD.105.114506](https://arxiv.org/abs/10.1103/PhysRevD.105.114506)  
Подавление монопольного конденсата между пластинами  
Деконфайнмент между близкорасположенными пластинами
- **глюодинамика** [10.1103/physrevd.108.014515](https://arxiv.org/abs/10.1103/physrevd.108.014515)  
Возникновение граничных состояний глюона и его образа в хромометаллическом зеркале  
Аргументы в пользу существования аналогичных состояний для тяжелых кварков
- **спиновая модель Поттса** [10.1016/j.jocs.2022.101607](https://arxiv.org/abs/10.1016/j.jocs.2022.101607)  
Гексагональная кластеризация по направлению спинов  
Нарушение цветовой симметрии при сохранении геометрической

Спасибо за внимание!

# Дополнительные слайды

- Казимировские граничные условия приводят к изменению структуры вакуума компактной электродинамики в  $3+1$  измерениях, что выражается в подавлении монопольного конденсата между пластинами, и, как следствие, точка фазового перехода конфайнмент-деконфайнмент смещается в сторону области сильной связи;
- В  $SU(3)$  глюодинамике в  $3+1$  измерениях при наличии пластин Казимира на границе возникает новая квазичастица с массой  $m_{gt} = 1.0(1)\sqrt{\sigma} = 0.49(5)$  GeV, что в несколько раз меньше массы основного состояния  $0^{++}$  глюбола,  $M_{0^{++}} = 3.405(21)\sqrt{\sigma} = 1.653(26)$  GeV. Квазичастица, с предложенным названием «глютон», интерпретирована как непертурбативное связанное состояние глюона и его образа противоположного цвета в хромометаллическом зеркале.

- Качественно обосновано наличие аналогичных связанных состояний для тяжелых кварков, названных кваркитонами, образованных кварком и его отражением в хромометаллическом зеркале.
- На небольших расстояниях между хромометаллическими пластинами проявляются признаки деконфайнмента цвета.
- Основные состояния нелокальной модели Поттса на случайной решетке характеризуются образованием цветовых кластеров гексагональной формы с нетривиальным смешиванием на границах.
- Численно продемонстрировано отсутствие состояния с нулевой энергией для пяти цветов.
- Основное состояние модели для пяти цветов характеризуется нарушением цветовой симметрии при сохранении геометрической.

- Online workshop «Advanced computing in particle physics», 31 May – 24 June 2021, «Nonlocal Potts model on random lattice and chromatic number of the plane»;
- Virtual tribute to the conference «Quark confinement and the hadron spectrum», 2 – 6 Aug 2021, «Nonlocal Potts model on random lattice and chromatic number of the plane»;
- 10<sup>th</sup> International conference on new frontiers in physics (ICNFP 2021), Kolymbari, Crete, Greece, 23 Aug – 2 Sep 2021, «Non-local Potts model on random lattice and chromatic number of a plane»;
- XVth International conference «Quark confinement and the hadron spectrum», Stavanger, Norway, 1 – 6 Aug 2022, «The influence of the Casimir effect on the vacuum structure of (3+1)-dimensional compact electrodynamics»;
- III International workshop «Lattice and functional techniques for QCD», Saint Petersburg, Russia, 10 – 14 Oct 2022, «Casimir effect in (3+1)d lattice Abelian and non-Abelian gauge theories»;
- International workshop «Infinite and finite nuclear matter (INFINUM-2023)», Dubna, Russia, 27 Feb – 3 Mar 2023, «The Casimir effect in Abelian and Non-Abelian lattice gauge theories: induced phase transitions and new boundary states».

- *Shevchenko V., Tanashkin A.* Non-local Potts model on random lattice and chromatic number of a plane. // *Journal of Computational Science*. 2022. т. 61. с. 101607. ISSN 1877-7503. DOI: <https://doi.org/10.1016/j.jocs.2022.101607>. (Scopus)
- Casimir boundaries, monopoles, and deconfinement transition in  $(3 + 1)$ - dimensional compact electrodynamics. / M. N. Chernodub [и др.] // *Phys. Rev. D*. 2022. т. 105, вып. 11. с. 114506. DOI: [10.1103/PhysRevD.105.114506](https://doi.org/10.1103/PhysRevD.105.114506). (Scopus, WoS)
- Boundary states and non-Abelian Casimir effect in lattice Yang-Mills theory. / M. N. Chernodub [и др.] // *Physical Review D*. 2023. т. 108, № 1. с. 014515. DOI: [10.1103/physrevd.108.014515](https://doi.org/10.1103/physrevd.108.014515). (Scopus, WoS)

- *Свидетельство о гос. регистрации программы для ЭВМ.* Численная симуляция модели Поттса с нелокальным взаимодействием [текст]. / А. С. Танашкин, В. И. Шевченко ; ФГАОУ ВО ДВФУ. № 2018665384 ; заявл. 28.12.2018 ; опубл. 15.01.2019, 2019610664 (Рос. Федерация)
- *Свидетельство о гос. регистрации программы для ЭВМ.* Построение объектов на решетке и их интеграция с программой для решеточных вычислений [текст]. / А. В. Молочков, А. С. Танашкин, В. А. Гой ; ФГАОУ ВО ДВФУ. № 2021660466 ; заявл. 06.07.2021 ; опубл. 15.07.2021, 2021661822 (Рос. Федерация)
- *Свидетельство о гос. регистрации программы для ЭВМ.* Реализация алгоритма тепловой бани для  $SU(2)$  калибровочной теории [текст]. / А. С. Танашкин, В. А. Гой ; ФГАОУ ВО ДВФУ. № 2022619111 ; заявл. 06.05.2022 ; опубл. 30.05.2022, 2022660078 (Рос. Федерация)
- *Свидетельство о гос. регистрации программы для ЭВМ.* Реализация  $SU(2)$  матриц и операций над ними для решеточной теории поля с поддержкой GPU [текст]. / В. А. Гой, А. С. Танашкин ; ФГАОУ ВО ДВФУ. № 2023611449 ; заявл. 01.02.2023 ; опубл. 06.02.2023, 2023612655 (Рос. Федерация)

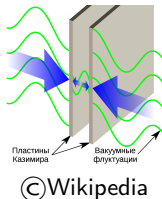
- Впервые изучено влияние пластин Казимира на структуру вакуума  $(3+1)$ -компактной электродинамики;
- Впервые рассмотрен решеточный подход для исследования эффекта Казимира в  $(3+1)$ -глюодинамике и изучено влияние пластин Казимира на деконфайнмент цвета, а также предсказано возникновение новых граничных состояний глюонов и кварков;
- Впервые было проведено исследование нелокальной модели Поттса на дискретной решетке с взаимодействием на конечном расстоянии, описаны вакуумные конфигурации данной модели и полученные результаты отождествлены с решением дискретной проблемы Нельсона-Эрдёша-Хадвигера, которая на момент выполнения работы остается открытой.

# Особенности Казимировского вакуума

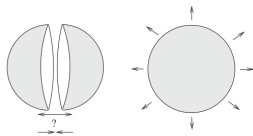
## Проблема сферической геометрии

$$\frac{\Delta E}{L^2} = -\frac{\pi^2 \hbar c}{720 d^3}$$

$$F(d) = -\frac{\pi^2 \hbar c}{240 d^4}$$



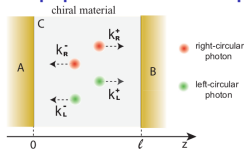
©Wikipedia



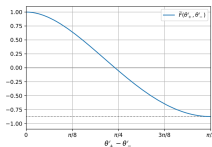
$$\Delta E \simeq +0.09 \frac{\hbar c}{2r}$$

Kenneth O., Klich I.  
arXiv:quant-ph/0601011

## Эффект Казимира в киральной среде



Jiang Q., Wilczek F. arXiv:1805.07994



$$\mathcal{L} = \frac{1}{4} F_{\mu\nu} F_{\mu\nu} + \frac{i}{4} g\theta F_{\mu\nu} \tilde{F}_{\mu\nu}$$

$$\theta'_{\pm} = \arctan(g\theta_{\pm})$$

Canfora F. et. al. arXiv:2207.09175

## Реструктуризация вакуума между границами

Эффект Шарнхоста

$$\delta c = +\frac{11\pi^2}{90^2} \alpha_{\text{e.m.}} \left( \frac{\hbar}{m_e c} \frac{1}{R} \right)^4$$

arXiv:gr-qc/0107091,

Восстановление киральной симметрии

$$\mathcal{L} = i\bar{\Psi}\not{\partial}\Psi + \frac{g}{2}(\bar{\Psi}\Psi)^2$$

Flachi A. arXiv:1301.1193  
arXiv:1901.04754, arXiv:2208.03457

# Решеточная регуляризация калибровочных теорий

Лагранжиан

$$F_{\mu\nu} = \partial_\mu A_\nu^{(a)} - \partial_\nu A_\mu^{(a)} + (gf^{abc} A_\mu^b A_\nu^c)$$

$$\mathcal{L} = -\frac{1}{4} F_{\mu\nu}^{(a)} F^{\mu\nu,(a)}$$

От пр-ва Минковского  
к евклидовому

$$ds^2 = -(dt^2) + dx^2 + dy^2 + dz^2$$

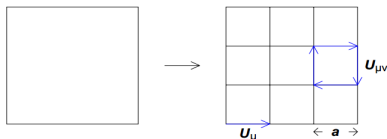
$$t \rightarrow -i\tau \Rightarrow$$

$$ds^2 = d\tau^2 + dx^2 + dy^2 + dz^2$$

$$Z = \int \mathcal{D}A_\mu e^{iS(A_\mu)} \rightarrow \int \mathcal{D}A_\mu e^{-S(A_\mu)}$$

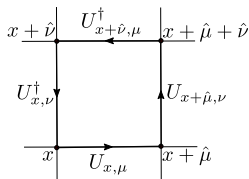
$$\mathcal{L} = -\frac{1}{4} F_{\mu\nu}^{(a)} F^{\mu\nu,(a)} \rightarrow \frac{1}{4} F_{\mu\nu,(a)}^2$$

Дискретизация



$$U_{x,\mu} = \exp(iaA_\mu(x))$$

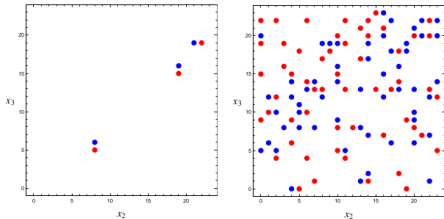
$$U_{x,\mu\nu} = \exp(ia^2 F_{\mu\nu}(x) + \mathcal{O}(a^3))$$



$$U_{x,\mu\nu} = U_{x,\mu} U_{x+\hat{\mu},\nu} U_{x+\hat{\nu},\mu}^\dagger U_{x,\nu}^\dagger$$

# Реструктуризация вакуума в (2+1) измерениях

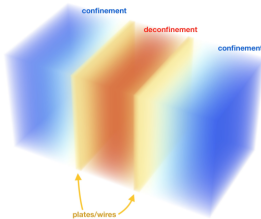
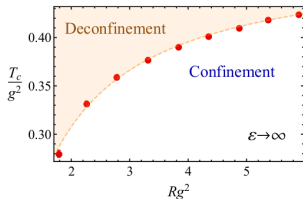
## Нулевая температура



Конфигурация монополей  
**слева:** между пластинами,  
**справа:** снаружи пластин

Chernodub M., Goy V., Molochkov A.  
arXiv:1703.03439

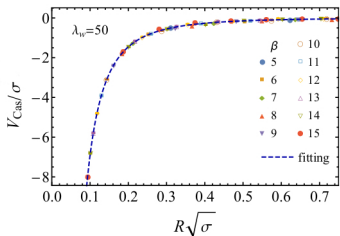
## Конечная температура



**слева:** фазовая  
диаграмма  
**справа:** иллюстрация  
деконфайнмента  
между пластинами  
Chernodub M., Goy V.,  
Molochkov A.  
arXiv:1709.02262

# Энергия Казимира в SU(2) (2+1)-глюодинамике

## Численный подход



$$V_{\text{Cas}}^{\text{fit}}(R) = -\frac{3\zeta(3)}{16\pi} \frac{1}{R^2} \frac{1}{(R\sqrt{\sigma})^\nu} e^{-M_{\text{Cas}}R}$$

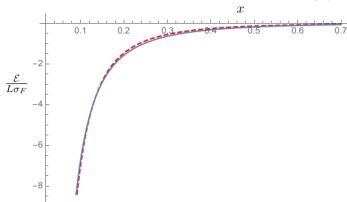
$$M_{\text{Cas}} = 1.38(3)\sqrt{\sigma}$$

$$M_{0^{++}} \approx 4.7\sqrt{\sigma}$$

$$\nu = 0.05(2)$$

Chernodub M., Goy V., Molochkov A.,  
Nguyen H.N. arXiv:1805.11887

## Аналитический подход



$$\frac{\epsilon}{L} = -\frac{\dim G}{16\pi R^2} \left[ 2mR \text{Li}_2(e^{-2mR}) + \text{Li}_3(e^{-2mR}) \right]$$

$$mR = \sqrt{c_A/\pi c_F} x, \quad x = R\sqrt{\sigma_F}$$

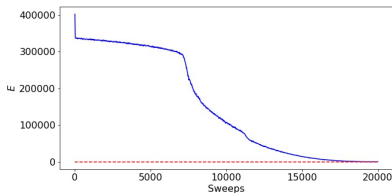
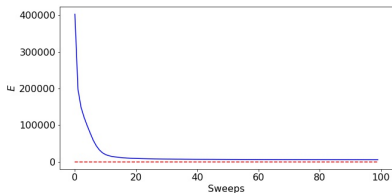
$$\sigma_F = e^4 \frac{c_A c_F}{4\pi}, \quad c_A = N_c, \quad c_F = \frac{N_c^2 - 1}{2N_c}$$

Karabali D., Nair V.P. arXiv:1808.07979

- × **Greedy** algorithm – makes locally optimal choice in hope to find global optimal solution. Doesn't work for this problem – resulting minima are not global.
- ✓ **Simulated annealing** algorithm – progressive cooling of the system with a possibility of accepting not locally optimal choice.

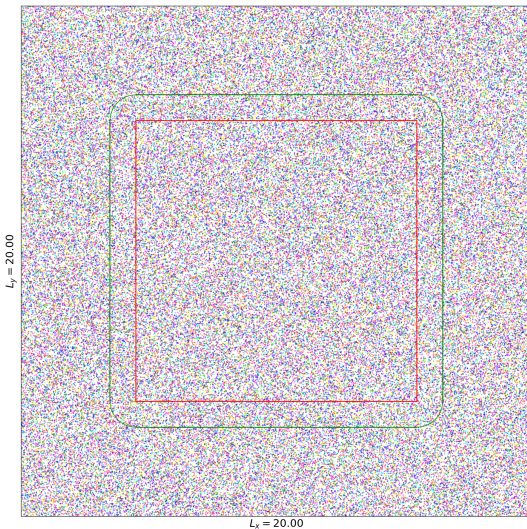
- 1 Generate random configuration
- 2 Calculate its energy
- 3 Choose temperature reduction function,  $T_{ini}$  and  $T_{fin}$
- 4 Generate random order of picking up particles
- 5 For each particle randomly assign a new color. If the energy decreased or stayed unchanged then accept new configuration. In the case the energy is increased configuration is accepted with probability  $P = \exp[(E - E')/T]$
- 6 Reduce temperature
- 7 Repeat steps starting from 4, while  $T > T_{fin}$ .

# Сравнение алгоритмов минимизации



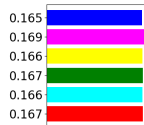
Типичные графики процесса минимизации. Слева: жадный алгоритм; Справа: алгоритм имитации отжига.

# Иллюстрация эволюции системы для $q = 6$

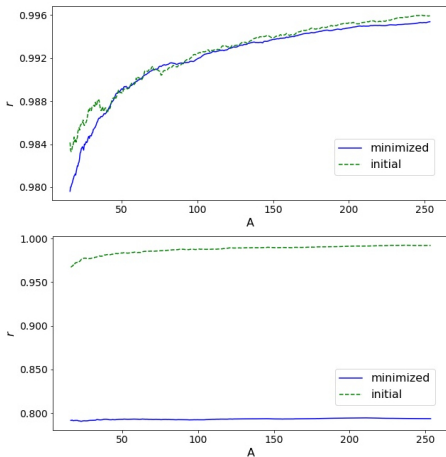


$\langle n \rangle = 50$   
 $N = 159155$   
 $N_m = 128675$   
 $R = 1.00$   
 $\delta = 0.02$   
 $q = 6$   
 $Offset = 4.5$   
 $Area = 121.0$

$T = 10.0$   
 $E_{total} = 401844.0$   
 $E_{ins} = 178801.0$   
 $E_{out} = 44242.0$

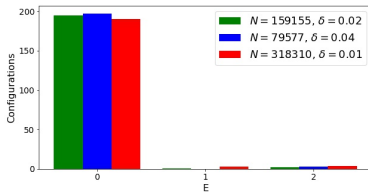
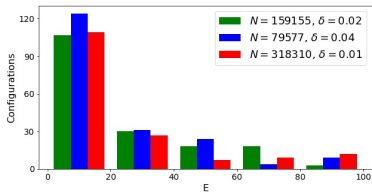


# Нарушение цветовой симметрии



Зависимость отношения  $r$  числа частиц наименее представленного цвета к общему числу частиц внутри подобласти от ее площади  $A$ .

**Вверху:  $q = 3$ , Внизу:  $q = 5$ .**



Распределения энергий минимизированных конфигураций для различных комбинаций  $(N, \delta)$  при фиксированном числе соседей  $\langle n \rangle$ .  
 Слева:  $q = 6$ ; Справа:  $q = 7$ .